

Satz 2.15: Poincaré'sche Ungleichung (2)

Sei  $\Omega \subset \mathbb{R}^d$  Gebiet mit Durchmesser  
 $D := \text{diam } (\Omega)$ .

Dann  $\exists c_p \geq 2D$ , so dass

$$(*) \quad \|v\|_{L^p(\Omega)} \leq c_p \|\nabla v\|_{L^p(\Omega)} \quad \forall v \in W_0^{1,p}(\Omega)$$

(Verallgemeinerbar zu Neumann-RB)

Beweis: Wir zeigen (\*) für  $v \in C_0^1(\Omega)$ ,  
da  $C_0^1$  dicht in  $W_0^{1,p}$  liegt.

(3)

Sei  $v \in C_0^1(\mathbb{R})$ ,  $\tilde{v}$  Fortsetzung auf  $\mathbb{R}^d$

$$\tilde{v}(x) = \begin{cases} v(x), & x \in \mathbb{R} \\ 0, & \text{sonst} \end{cases}$$

Wähle  $c > 0$  sodass  $\mathcal{S} \subset [c, +\infty] \times \mathbb{R}^{d-1}$

$$\Rightarrow \tilde{v}(x) = \int_{-\epsilon}^x \partial_{x_1} \tilde{v}(\xi, x_2, \dots, x_d) d\xi$$

Hauptsatz der  
Integral-Differentialrech.

Wähle  $p, q$  mit  $\frac{1}{p} + \frac{1}{q} = 1$

$$\begin{aligned} (\tilde{v}(x))^p &\leq \left[ \int_{-\epsilon}^x |\partial_{x_1} \tilde{v}(\xi, \dots)| d\xi \right]^p \leq \left[ \int_{-\epsilon}^x (\partial_{x_1} \tilde{v})^p d\xi \right]^{\frac{p}{q}} \\ &\stackrel{(Hölder)}{\leq} \left[ \left( \int_{-\epsilon}^x |\partial_{x_1} \tilde{v}|^p d\xi \right)^{\frac{1}{p}} \left( \int_{-\epsilon}^x 1^q d\xi \right)^{\frac{1}{q}} \right]^p \\ &= (2C)^{\frac{p}{q}} \int_{-\epsilon}^x |\partial_{x_1} \tilde{v}|^p d\xi \end{aligned}$$

nochmals über  $x_1$  integrieren

$$\int_{-\epsilon}^c |\tilde{v}(x)|^p dx_1 \leq (2C)^{\frac{p+1}{q}} \int_{-\epsilon}^c |\partial_{x_1} \tilde{v}(\xi, \dots)|^p d\xi$$

sowie über  $x_2, \dots, x_d$

$$\begin{aligned} \int_{\mathbb{R}^d} |\tilde{v}|^p dx &\leq (2C)^{\frac{p+1}{q}} \int_{\mathbb{R}^d} |\partial_{x_1} \tilde{v}|^p dx \\ \frac{p+1}{q} = 1 \Rightarrow \int_{\mathbb{R}^d} |v|^p dx &\leq 2C \int_{\mathbb{R}^d} |\partial_{x_1} v|^p dx \quad \text{n. analog für alle Richt.} \end{aligned}$$

## 2.2 Variationsformulierung

(4)

Def 2.16 Schwache Formulierung des Poisson-Problems

sei  $\Omega$  Lipschitz-Gebiet,  $f \in L^2(\Omega)$

$u \in H_0^1(\Omega)$  heißt schwache Lösung von

$$\begin{aligned} -\Delta u &= f \quad \text{in } \Omega \\ u &= 0 \quad \text{auf } \partial\Omega \end{aligned}$$

falls

○ (\*)  $\int_{\Omega} \nabla u \cdot \nabla \varphi \, dx = \int_{\Omega} f \varphi \, dx \quad \forall \varphi \in H_0^1(\Omega)$

Satz 2.17 Existenz & Eindeutigkeit

(\*) hat genau eine schwache Lösung  $u \in H_0^1(\Omega)$

Beweis:  $a(u, v) = \int_{\Omega} \nabla u \cdot \nabla v \, dx$  ist Bilinearform und beschränkt für  $v \in H_0^1$

○ mittels Bézouté zeigen wir Konsistenz von  $a$

$$a(v, v) = \|v\|_{H_0^1(\Omega)}^2 = \|\nabla v\|_{L^2(\Omega)}^2 \geq \frac{1}{C_p} \|v\|_{L^2(\Omega)}^2$$

$$\Rightarrow 2 \cdot a(v, v) \geq \frac{1}{C_p} \|v\|_{L^2}^2 + \|\nabla v\|_{L^2}^2 \geq c \underbrace{\left( \|v\|_{L^2}^2 + \|\nabla v\|_{L^2}^2 \right)}_{\|v\|_{H^1}^2}$$

•  $f \in L^2(\Omega) = (L^2(\Omega))^* \subset H_0^1(\Omega)^*$   $\|f\|_{H_0^1(\Omega)^*}^2$

$\Rightarrow$  R.H.S ein lin. Funktional aus  $H_0^1$

$\Rightarrow$  nach Lax-Milgram folgt

• eindeutige Lösung  $u \in H_0^1(\Omega)$

## Satz 2.17 Variationsprinzip (5)

$\Sigma_1, \Sigma_2$  wie oben, dann sind äquivalent

i)  $u \in H^1(\Omega)$  ist schwache Lösung von  $(\#*)$

ii)  $u = \underset{v \in H^1_0}{\operatorname{argmin}} J(v)$

mit Energiefunktional  $J: H^1(\Omega) \rightarrow \mathbb{R}$

$$J(v) = \frac{1}{2} a(v, v) - (f, v)_{L^2} \quad \text{lassen wir } f \in L^2 \text{ weg}$$

Beweis Verallgemeinern als Übung.

üblicherweise Blatt 2 A2.

## Bemerkung 2.18 allgemeine Direktheit-RB

Sei  $g \in H^1(\Omega)$ ,  $f \in L^2(\Omega)$ ,  $u \in H^1(\Omega)$

Schwache Lösung von

$$-\Delta u = f, \quad u = g \text{ auf } \partial\Omega,$$

Lösungsansatz:

$$\tilde{u} = u - g \in H^1_0(\Omega), \text{ damit folgt}$$

$$(\nabla u, \nabla \ell) = (f, \ell) \quad \forall \ell \in H^1_0(\Omega)$$

$$\Leftrightarrow (\nabla \tilde{u}, \nabla \ell) = \underbrace{(f, \ell) - (\nabla g, \nabla \ell)}_{=: \hat{f}(\ell) \in H^1_0(\Omega)} \quad \forall \ell \in H^1_0(\Omega)$$

## 2.2 Galerkin - Ansatz V. f. LGS

(6)

Idee Variationsproblem

$$a(u, \ell) = f(\ell) \quad \forall \ell \in V$$

Testfkt

[ $\checkmark$  Hilbertraum,  $a$  beschr., koerzive Bilinearform]

$f \in V'$ ,  $u$  Lösung  $\in V$  Ansatzfkt

Wähle diskreten Unterraum

### Def 2.19 (Ritz-) Galerkin Verfahren

- Sei  $U_h, V_h \subset V$  Ansatz-/Testraum
- Ritz-Galerkin Ansatz ( $U_h = V_h$ )  
Finde  $u_h \in V_h$  so dass  
 $a(u_h, \varphi_h) = f(\varphi_h) \quad \forall \varphi_h \in V_h$

- Petrov-Galerkin Ansatz ( $X_h \neq Y_h$ )

Finde  $u_h \in U_h$ , so dass

$$\underline{a(u_h, \varphi_h) = f(\varphi_h) \quad \forall \varphi_h \in V_h}$$

## Mögliche Ansatzräume für $X = H_0^1(\Omega)$

- Polynomräume:  $V_h = \{ f \in P^k(\Omega), f=0 \text{ auf } \partial\Omega \}$

Polynome bis Grad k

→ Spektralansatz

- Raum aus N Eigenfunktionen:

$$V_h := \text{span} \{ u_i \in X, L u_i = \lambda_i u_i, i \in [1, N] \}$$

- Stückweise Polynome

→ Finite-Elemente Ansätze

## Bsp 2.20

Dreiecksgritter:  $\bar{T}_h(\Omega)$   
 (nicht-überlappende Zerlegung)

$$\bar{T}_h(\Omega) = \{ E_0, \dots, E_{N-1} \}$$

$E_i \subset \Omega$ , Dreieckselement

$E_i = \bar{T}_h(\hat{E})$ ,  $T_i$  affin linear

$E_i \cap E_j = \emptyset$  für  $i \neq j$

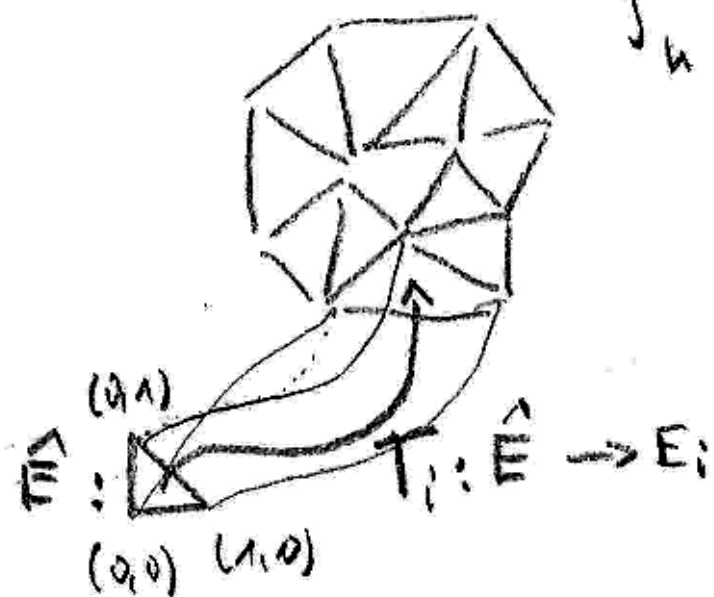
$$\bar{\Omega} = \bigcup E_i$$

$\hat{E}$ : Referenzdreieck

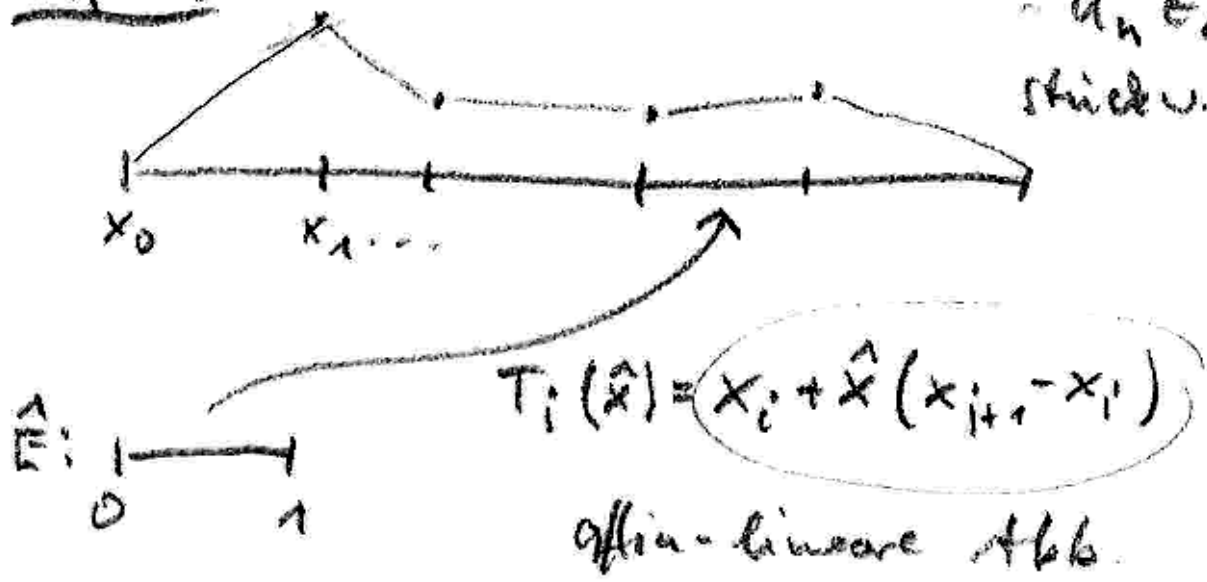
Bsp 2D:

(P)

$$\mathcal{T}_h(\Omega), \Omega \subset \mathbb{R}^2$$



Bsp 1D



$u_h \in X_h$   
stückweise linear

$$V_h := \left\{ \varphi \in C^0(\bar{\Omega}) \mid \varphi = 0 \text{ auf } \partial\Omega, \right. \\ \left. \varphi|_{E_i} \in P^k, E_i \in \mathcal{T}_h(\Omega) \right\}$$

Speziell stückweise linear:

Knotenwerte beschreiben Lösung,

auf  $E_i$  linear zwischen Knotenwerten

→ Programmierung

Wir müssen für Bilinearform  
Integrale auswerten.

→ Quadratur auf Elementen des Gitters

$$\int_{\Omega} f(x) dx = \sum_{E_i \in \mathcal{T}_h(\Omega)} \int_{E_i} f(x) dx \\ = \sum_{E_i} \sum_{(q, w)} f(q) w$$

- mit Quadraturpunkten & Gewichten  $(q, w)$
- ... kann man konstruieren wie in NumAna, so dass Polynome bis Grad  $k$  exakt integriert werden ... basiert auf Polyn.-IP

Aber! Wir wollen nicht für jedes Element  $E_i$  eine neue Quadratur konstruieren

→ Konstruktion auf Referenzelement  $\tilde{E}$

$$\dots = \sum_{E_i} \int_{\tilde{E}} f(\underbrace{T_i(\tilde{x})}_{\text{Trafo in globale Koord.}}) \det(J(T_i)(\tilde{x})) d\tilde{x} \\ \text{R Jakobi-matrix der Trafo, auf Dreiecken gilt } J(T_i) = T_i$$

$$= \sum_{E_i} \sum_{(q, w)} f(T_i(q)) \tilde{w} \det(J(T_i)(\tilde{q}))$$